

e⁺e⁻湮灭与大横动量 P_⊥ 分布

王政之 王桂云
(山东大学)

摘要

本文从 e⁺e⁻ 湮灭的次级粒子的横动量分布的表示式中, 导出了当 m_⊥ ≫ T 时横质量 m_⊥ 的平均无标度性。

为了统一地解释 KNO 无标度性的 Wroblewski 经验规则, 本文作者之一在黄山会议上曾提出一个大火球独立产生模型^[1], 假定了每个火球中的粒子数服从指数分布。这个假定实际只有当粒子数很大时才近似地合理。

实验发现高能碰撞中产生的强子绝大多数是 π 介子, 还有少量 K 介子。其它的粒子是非常少的。为了突出问题的主要方面, 我们暂时只考虑 π 介子。

正、负电子湮灭变成虚光子, γ 衰变又碎裂成一簇 π 介子。图 1 二喷注示意图和三喷注示意图^[2]。

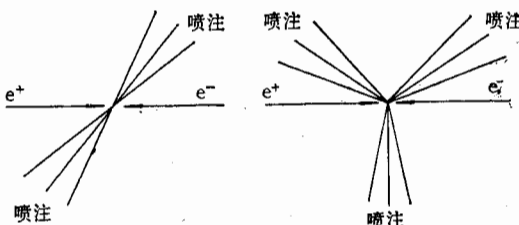


图 1 二喷注示意图与三喷注示意图

当光子气体作绝热膨胀时, 体积与温度彼此由 $VT^3 = V_0 T_0^3 = \text{常数}$ 的关系式联系着。辐射总能量 E 等于(玻耳兹曼定律)^[3]

$$E = a V T^4 = a V_0 T_0^4 = C T = C_0 T_0, \quad (1)$$

式中

$$a = \frac{\pi^2 k^4}{15 \hbar^3 c^3}.$$

一族 π 介子的温度 T, 光子 γ 的温度 T₀,

$$T_0 = \frac{N T}{\sqrt{1 - \beta^2}}, \quad C = \frac{C_0 N}{\sqrt{1 - \beta^2}}, \quad T = \frac{E}{C}, \quad (2)$$

式中, $\beta = v/c$, 集团数 N .

在半包含反应中次级粒子的横动量分布能够表述为^[4]

$$\begin{aligned} \frac{d\langle n_{ch} \rangle}{\pi dP_T^2} &= \frac{N dk_{ch}}{\pi dP_T^2} = \frac{Ng_{ch}V}{(2\pi)^3} \int_{-\infty}^{\infty} \frac{m_\perp \text{chy} dy}{\exp(m_\perp \text{chy}/T) - 1} \\ &= \frac{Nk_{ch}}{2\pi} \frac{1}{T^3 F(m/T)} \int_0^\infty \frac{m_\perp \text{chy} dy}{\exp(m_\perp \text{chy}/T) - 1} \end{aligned}$$

式中 $k_{ch} = \frac{1}{2\pi^2} g_{ch} V T^3 F(m/T)$ ^[3], $\langle n_{ch} \rangle$ 是带电粒子数, chy 是双曲余弦函数, V 是体积, $m_\perp = \sqrt{P_T^2 + m^2}$, $F(z) = z^3 \int_0^\infty \frac{x^2 dx}{\exp(z\sqrt{1+x^2}) - 1}$. 或者写成

$$\frac{1}{\langle n_{ch} \rangle} \cdot \frac{d\langle n_{ch} \rangle}{dm_\perp} = \frac{m_\perp}{T^3 F(m/T)} \int_0^\infty \frac{m_\perp \text{chy} dy}{\exp(m_\perp \text{chy}/T) - 1}. \quad (3)$$

当 $m_\perp \gg T$ 时, 可用玻耳兹曼近似, (3)式化为

$$\begin{aligned} \frac{1}{\langle n_{ch} \rangle} \cdot \frac{d\langle n_{ch} \rangle}{dm_\perp} &= \frac{m_\perp^2}{T^3 F(m/T)} K_1(m_\perp/T) \\ &\xrightarrow{m_\perp/T \gg 1} \frac{1}{TF(m/T)} \sqrt{\frac{\pi}{2}} \left(\frac{m_\perp}{T}\right)^{3/2} \exp(-m_\perp/T). \end{aligned}$$

最后得到^[6]

$$\langle n_{ch} \rangle = \frac{2}{3} \langle n \rangle = \frac{2}{3} \alpha \sigma_{in}. \quad (4)$$

另一方面,

$$\frac{1}{\sigma_{in}} \cdot \frac{d\sigma}{d \frac{m_\perp}{T}} = \frac{\sqrt{\frac{\pi}{2}}}{F\left(\frac{m}{T}\right)} \left(\frac{m_\perp}{T}\right)^{3/2} \exp\left(-\frac{m_\perp}{T}\right). \quad (5)$$

斯忒藩-玻耳兹曼定律(1)式化为

$$\frac{E}{\sigma_{in}} \cdot \frac{d\sigma}{dm_\perp} = \frac{\sqrt{\frac{\pi}{2}} C}{F\left(\frac{Cm}{E}\right)} \left(\frac{Cm_\perp}{E}\right)^{3/2} \exp(-Cm_\perp/E). \quad (6)$$

系式联系着.

这就是横质量 m_\perp 平均无标度性.

(1) 在本工作的进行中得到孙桂荣、李月芹、墨文川、李春显的支持, 谨致谢忱.

参 考 文 献

- [1] 王政之, 高能物理与核物理, 1(1977), 90.
- [2] 唐孝威、杨保忠, 物理学进展, 4(1984), 157.
- [3] F. Mandl, 统计物理学, 人民教育出版社.
- [4] 王政之等, 高能物理与核物理, 9(1979), 523.
- (2) [5] 文 浦, 山东大学学报, 1(1980), 37.
- [6] C. Novello and E. Predazzi, Nuovo Cim., 63A(1981), 129.

e⁺e⁻ ANNIHILATION AND THE LARGE TRANSVERSE MOMENTUM P_{\perp} DISTRIBUTION

WANG ZHENG-ZHI WANG GUI-YUN

(Shandong University)

ABSTRACT

In the present work, the m_{\perp} mean scaling expression is obtained from the transverse momentum distribution of the secondary particles in e^+e^- annihilation the case of $m_{\perp} \gg T$.